

# Empaquetamientos de Apolonio: un paseo amistoso

J. L. Ramírez Alfonsín

Université de Montpellier

Coloquio FMAT-CIMAT

Mérida, 21 Junio 2023

## Apolonio de Perga

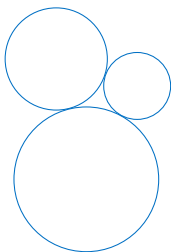


262 a.C. - 190 a.C. (72 años)

- Conocido como “El gran geometra”
- Su libro famoso *Conics* introduce los terminos de hyperbola y elipse.

Teorema (Apolonio de Perga) Dados 3 círculos mutuamente tangentes existen exactamente dos círculos tangentes a los tres.

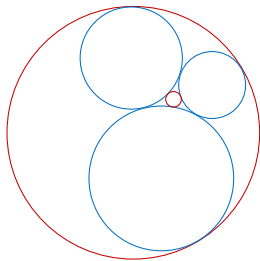
Teorema (Apolonio de Perga) Dados 3 círculos mutuamente tangentes existen exactamente dos círculos tangentes a los tres.





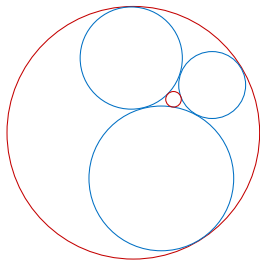
# Teorema de Apolonio

**Teorema (Apolonio de Perga)** Dados 3 círculos mutuamente tangentes existen exactamente dos círculos tangentes a los tres.

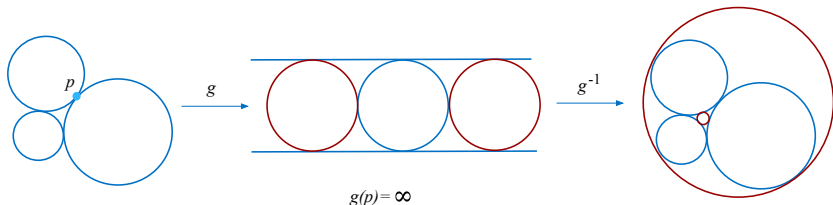


# Teorema de Apolonio

**Teorema (Apolonio de Perga)** Dados 3 círculos mutuamente tangentes existen exactamente dos círculos tangentes a los tres.



Prueba (idea) :

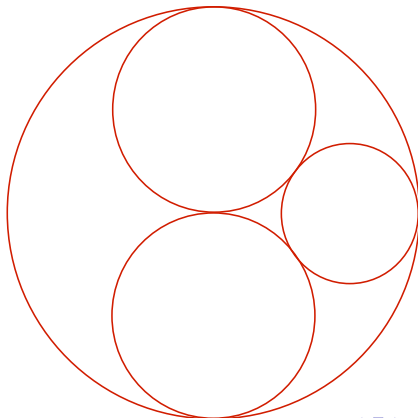


# Empaquetamientos de Apolonio : construcción

- Tomemos 4 círculos mutuamente tangentes
- Agreguemos nuevos círculos que son tangentes a 3 de los cuatro círculos (previsto por Teorema de Apolonio) y así obteniendo una nueva configuración
- Continuemos el procedimiento indefinidamente ...

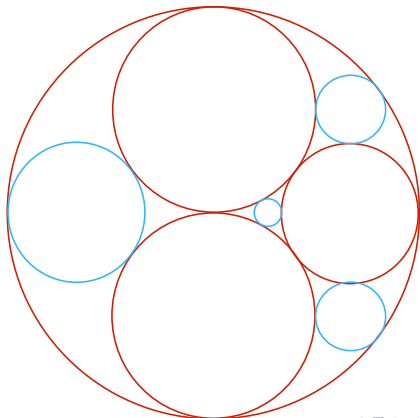
# Empaquetamientos de Apolonio : construcción

- Tomemos 4 círculos mutuamente tangentes
- Agreguemos nuevos círculos que son tangentes a 3 de los cuatro círculos (previsto por Teorema de Apolonio) y así obteniendo una nueva configuración
- Continuemos el procedimiento indefinidamente ...



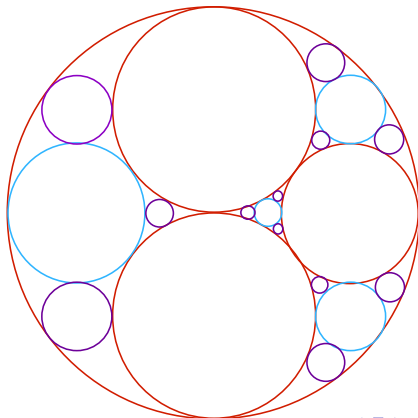
# Empaquetamientos de Apolonio : construcción

- Tomemos **4 círculos mutuamente tangentes**
- Agreguemos nuevos círculos que son tangentes a 3 de los cuatro círculos (previsto por Teorema de Apolonio) y así obteniendo una nueva configuración
- Continuemos el procedimiento indefinidamente ...

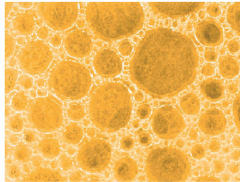


# Empaquetamientos de Apolonio : construcción

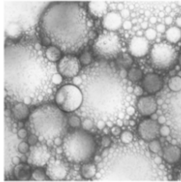
- Tomemos 4 círculos mutuamente tangentes
- Agreguemos nuevos círculos tangentes a 3 de los cuatro círculos (previsto por Teorema de Apolonio)
- Agreguemos nuevos círculos a la nueva configuración
- Continuemos el procedimiento indefinidamente



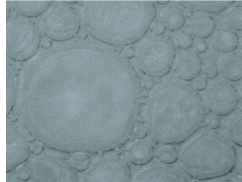
Empaquetamientos de Apolonio atractivos para estudiar :



Sistemas granulares

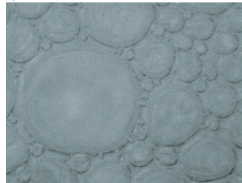
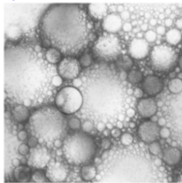
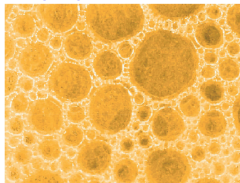


Emulsiones fluidas



Burbujas en espumas

Empaquetamientos de Apolonio atractivos para estudiar :

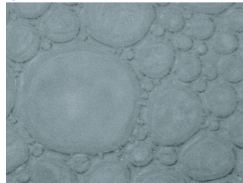
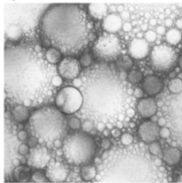
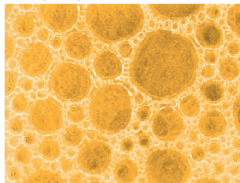


Sistemas granulares    Emulsiones fluidas    Burbujas en espumas

Aplicaciones : geometría hyperbolica, fractales, grupos geométricos,

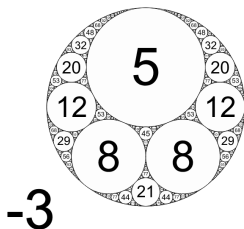


Empaquetamientos de Apolonio atractivos para estudiar :

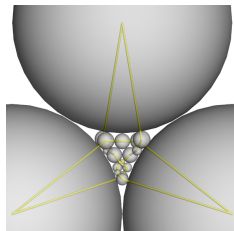


Sistemas granulares    Emulsiones fluidas    Burbujas en espumas

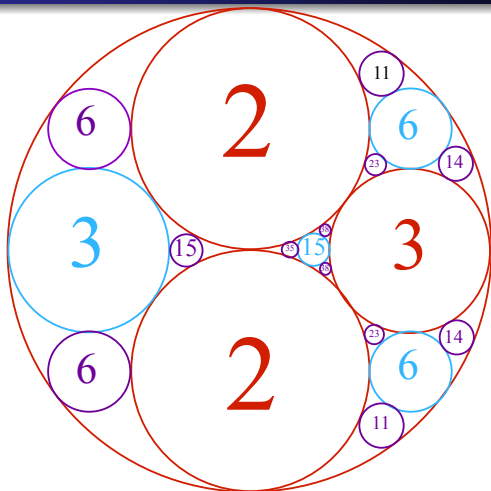
Aplicaciones : geometría hiperbólica, fractales, grupos geométricos,



Teoría de números



Teoría de nudos



Cada círculo etiquetado con su **curvatura** :  $curv(C) = \frac{1}{radio(C)}$

La curvatura del círculo exterior es  $-1$  (orientado al exterior para que los interiores sean disjuntos).

# Teorema de Descartes

Un empaquetamiento Apolonio es **integral** si todas sus curvaturas son enteras.

# Teorema de Descartes

Un empaquetamiento Apolonio es **integral** si todas sus curvaturas son enteras.

**Pregunta** : ¿Existe algun empaquetamiento Apolonio integral?

# Teorema de Descartes

Un empaquetamiento Apolonio es **integral** si todas sus curvaturas son enteras.

**Pregunta** : ¿Existe algun empaquetamiento Apolonio integral? **SI**

# Teorema de Descartes

Un empaquetamiento Apolonio es **integral** si todas sus curvaturas son enteras.

**Pregunta** : ¿Existe algun empaquetamiento Apolonio integral? **SI**  
**Teorema (Descartes 1643)** Si  $a, b, c, d$  son las curvaturas de cuatro círculos mutuamente tangentes si y solo si satisfacen la ecuación cuadrática  $2(a^2 + b^2 + c^2 + d^2) = (a + b + c + d)^2$

# Teorema de Descartes

Un empaquetamiento Apolonio es **integral** si todas sus curvaturas son enteras.

**Pregunta** : ¿Existe algun empaquetamiento Apolonio integral? **SI**  
**Teorema (Descartes 1643)** Si  $a, b, c, d$  son las curvaturas de cuatro  
circulos mutuamente tangentes si y solo si satisfacen la ecuación  
cuadrática  $2(a^2 + b^2 + c^2 + d^2) = (a + b + c + d)^2$

La demostración en una carta a la Princesa Elisabeth of Bohemia



"je pense, donc j'existe"



**Teorema (Soddy 1936)** Si los cuatro primeros círculos de un empaquetamiento Apolonio  $\mathcal{P}$  tienen curvaturas enteras entonces  $\mathcal{P}$  es integral.



**Teorema (Soddy 1936)** Si los cuatro primeros círculos de un empaquetamiento Apolonio  $\mathcal{P}$  tienen curvaturas enteras entonces  $\mathcal{P}$  es integral.

**Prueba (idea)** : Resolviendo  $2(a^2 + b^2 + c^2 + d^2) = (a + b + c + d)^2$  para  $d$ , encontramos que si  $a, b, c$  y  $\sqrt{ab + ac + bc}$  son enteros entonces el empaquetamiento es integral.

**Teorema (Soddy 1936)** Si los cuatro primeros círculos de un empaquetamiento Apolonio  $\mathcal{P}$  tienen curvaturas enteras entonces  $\mathcal{P}$  es integral.

**Prueba (idea)** : Resolviendo  $2(a^2 + b^2 + c^2 + d^2) = (a + b + c + d)^2$  para  $d$ , encontramos que si  $a, b, c$  y  $\sqrt{ab + ac + bc}$  son enteros entonces el empaquetamiento es integral.

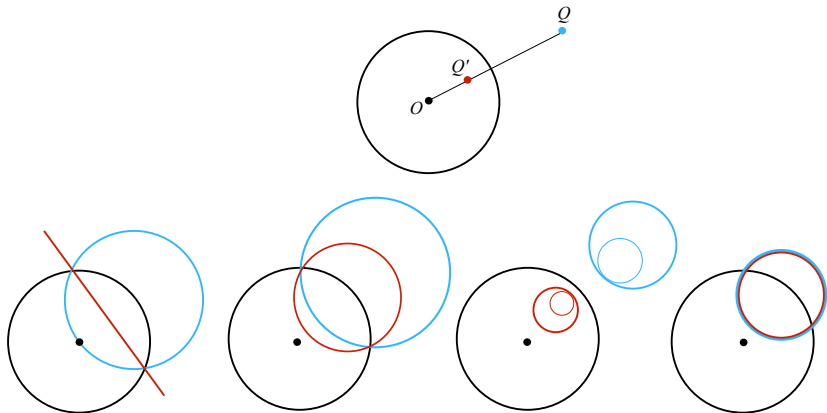
**Teorema (Soddy-Gosset 1937)** Las curvaturas  $\kappa_1, \dots, \kappa_{d+2}$  de  $d + 2$   $d$ -bolas en  $\mathbb{R}^d$  tangentes por parejas verifican  $d(\kappa_1^2 + \dots + \kappa_{d+2}^2) = (\kappa_1 + \dots + \kappa_{d+2})^2$ .

# Inversion con respecto a un círculo

El inverso del punto  $Q$  con respecto a un círculo de centro  $O$  y radio  $r$  es el punto  $Q'$  que está en el segmento  $[O, Q]$  tal que  $d(O, Q) \cdot d(O, Q') = r^2$ .

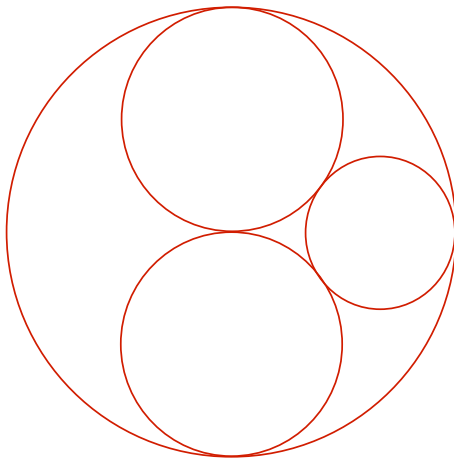
# Inversion con respecto a un círculo

El inverso del punto  $Q$  con respecto a un círculo de centro  $O$  y radio  $r$  es el punto  $Q'$  que está en el segmento  $[O, Q]$  tal que  $d(O, Q) \cdot d(O, Q') = r^2$ .



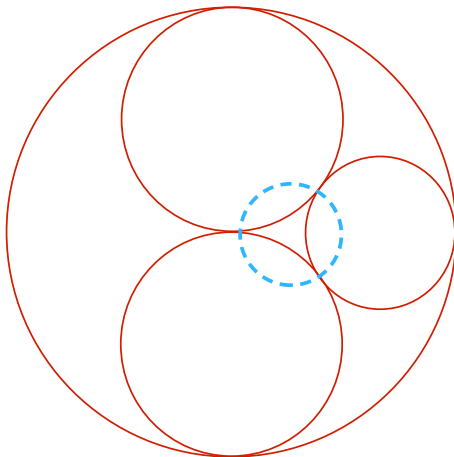
# Empaquetamientos utilizando inversiones

A partir del Tetraedro



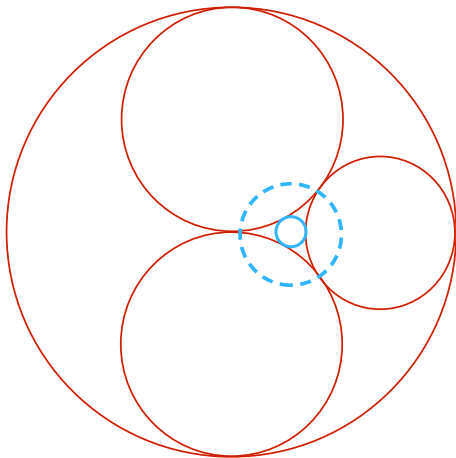
# Empaquetamientos utilizando inversiones

A partir del Tetraedro



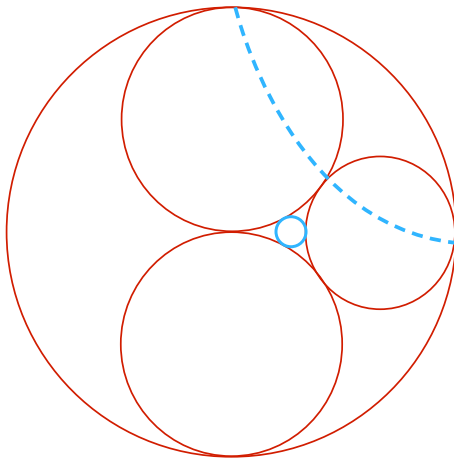
# Empaquetamientos utilizando inversiones

A partir del Tetraedro



# Empaquetamientos utilizando inversiones

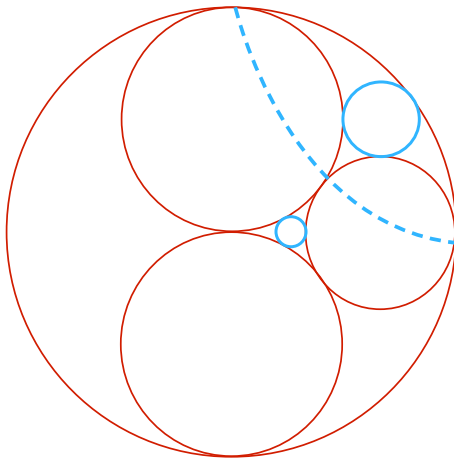
A partir del Tetraedro



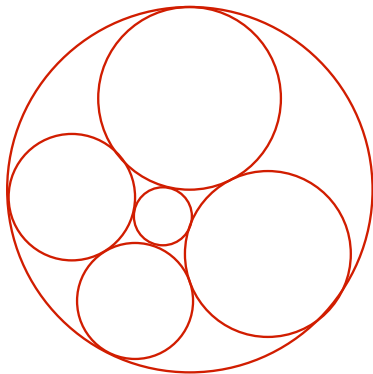


# Empaquetamientos utilizando inversiones

A partir del Tetraedro

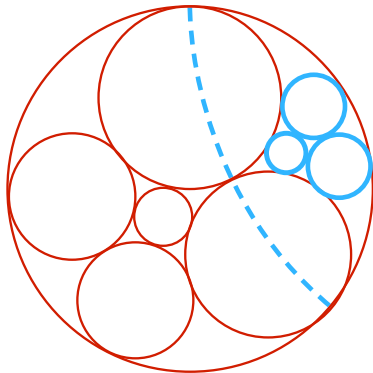


A partir del Octaedro



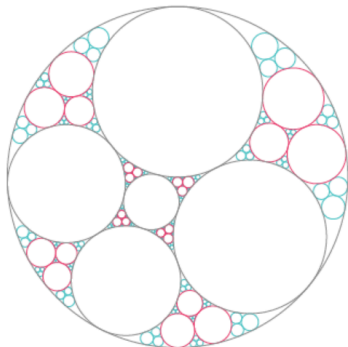
# Otros empaquetamientos utilizando inversiones

A partir del Octaedro

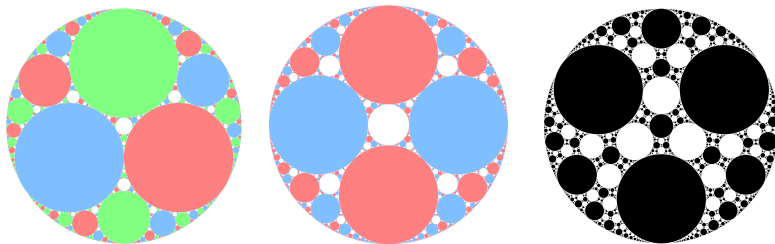


# Otros empaquetamientos utilizando inversiones

A partir del Octaedro

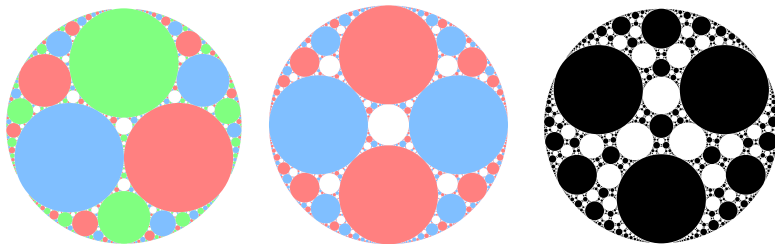


## Empaquetamientos a partir de el Tetraedro, el Octaedro y el Cubo



(figuras realizadas con un software programado por I. Rasskin)

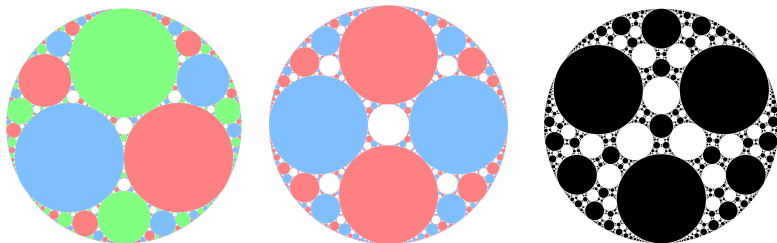
## Empaquetamientos a partir de el Tetraedro, el Octaedro y el Cubo



(figuras realizadas con un software programado por I. Rasskin)

**Pregunta 1** ¿ Qué números enteros aparecen como curvaturas en un empaquetamiento ?

## Empaquetamientos a partir de el Tetraedro, el Octaedro y el Cubo

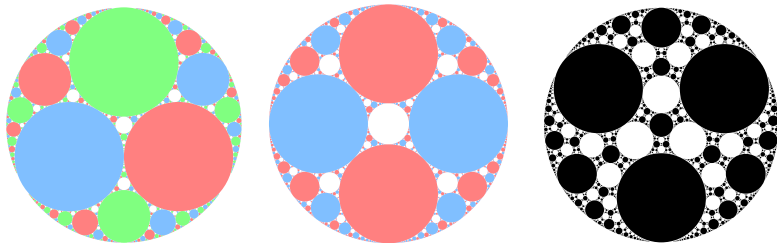


(figuras realizadas con un software programado por I. Rasskin)

**Pregunta 1** ¿ Qué números enteros aparecen como curvaturas en un empaquetamiento ?

**Pregunta 2** ¿ Que podemos decir sobre empaquetamientos de  $d$ -bolas en  $\mathbb{R}^d$  ?

## Empaquetamientos a partir de el Tetraedro, el Octaedro y el Cubo



(figuras realizadas con un software programado por I. Rasskin)

Pregunta 1 ¿ Qué números enteros aparecen como curvaturas en un empaquetamiento ?

Pregunta 2 ¿ Que podemos decir sobre empaquetamientos de  $d$ -bolas en  $\mathbb{R}^d$  ?

Pregunta 3 ¿ Existen otras relaciones de tipo-Descartes ?



# Un poco sobre la teoría de Lorentzianos

Sea  $d \geq 1$ . El *espacio Lorentziano*  $\mathbb{L}^{d+1,1}$ , de dimensión  $d + 2$ , es el espacio vectorial de dimensión  $d + 2$  dotado del *producto Lorentziano*

$$\langle \mathbf{x}, \mathbf{y} \rangle = x_1 y_1 + \cdots + x_{d+1} y_{d+1} - x_{d+2} y_{d+2}, \quad \mathbf{x}, \mathbf{y} \in \mathbb{L}^{d+1,1}$$

# Un poco sobre la teoría de Lorentzianos

Sea  $d \geq 1$ . El *espacio Lorentziano*  $\mathbb{L}^{d+1,1}$ , de dimensión  $d + 2$ , es el espacio vectorial de dimensión  $d + 2$  dotado del *producto Lorentziano*

$$\langle \mathbf{x}, \mathbf{y} \rangle = x_1 y_1 + \cdots + x_{d+1} y_{d+1} - x_{d+2} y_{d+2}, \quad \mathbf{x}, \mathbf{y} \in \mathbb{L}^{d+1,1}$$

El vector  $\mathbf{v} \in \mathbb{L}^{d+1,1}$  se llama *space-like* si  $\langle \mathbf{v}, \mathbf{v} \rangle > 0$

# Un poco sobre la teoría de Lorentzianos

Sea  $d \geq 1$ . El *espacio Lorentziano*  $\mathbb{L}^{d+1,1}$ , de dimensión  $d + 2$ , es el espacio vectorial de dimensión  $d + 2$  dotado del *producto Lorentziano*

$$\langle \mathbf{x}, \mathbf{y} \rangle = x_1 y_1 + \cdots + x_{d+1} y_{d+1} - x_{d+2} y_{d+2}, \quad \mathbf{x}, \mathbf{y} \in \mathbb{L}^{d+1,1}$$

El vector  $\mathbf{v} \in \mathbb{L}^{d+1,1}$  se llama *space-like* si  $\langle \mathbf{v}, \mathbf{v} \rangle > 0$

- Existe una biyección entre el espacio de  $d$ -bolas  $Ball(\widehat{\mathbb{R}^d})$  en  $\widehat{\mathbb{R}^d} := \mathbb{R}^d \cup \{\infty\}$  y el conjunto de vectores space-like normalizados de  $\mathbb{L}^{d+1,1}$ .

# Un poco sobre la teoría de Lorentzianos

Sea  $d \geq 1$ . El *espacio Lorentziano*  $\mathbb{L}^{d+1,1}$ , de dimensión  $d + 2$ , es el espacio vectorial de dimensión  $d + 2$  dotado del *producto Lorentziano*

$$\langle \mathbf{x}, \mathbf{y} \rangle = x_1 y_1 + \cdots + x_{d+1} y_{d+1} - x_{d+2} y_{d+2}, \quad \mathbf{x}, \mathbf{y} \in \mathbb{L}^{d+1,1}$$

El vector  $\mathbf{v} \in \mathbb{L}^{d+1,1}$  se llama *space-like* si  $\langle \mathbf{v}, \mathbf{v} \rangle > 0$

- Existe una biyección entre el espacio de  $d$ -bolas  $Ball(\widehat{\mathbb{R}^d})$  en  $\widehat{\mathbb{R}^d} := \mathbb{R}^d \cup \{\infty\}$  y el conjunto de vectores space-like normalizados de  $\mathbb{L}^{d+1,1}$ .

$$\langle v_b, v_{b'} \rangle \begin{cases} > 1 & \text{si } b \text{ y } b' \text{ son concéntricos} \\ = 1 & \text{si } b \text{ y } b' \text{ son internamente tangentes} \\ = 0 & \text{si } b \text{ y } b' \text{ son ortogonales} \\ = -1 & \text{si } b \text{ y } b' \text{ son externamente tangentes} \\ < -1 & \text{si } b \text{ y } b' \text{ son disjuntos} \end{cases}$$

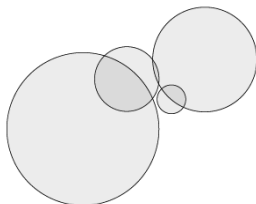
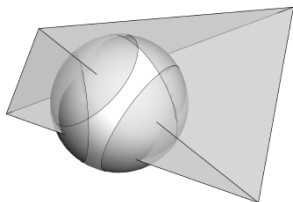
# Arreglo de bolas

Sea  $P$  un  $(d + 1)$ -politopo *esfera-exterior* (vértices afuera de la esfera)

# Arreglo de bolas

Sea  $P$  un  $(d + 1)$ -politopo *esfera-exterior* (vértices afuera de la esfera)

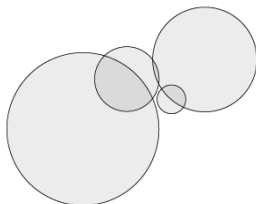
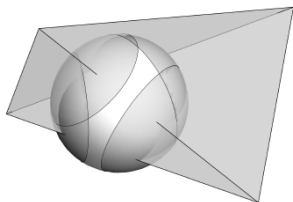
El *arreglo de bolas proyectado* de  $P$ ,  $B(P)$ , es la colección de  $d$ -bolas cuyas *fuentes de luz* son los vértices de  $P$ .



# Arreglo de bolas

Sea  $P$  un  $(d + 1)$ -politopo *esfera-exterior* (vértices afuera de la esfera)

El *arreglo de bolas proyectado* de  $P$ ,  $B(P)$ , es la colección de  $d$ -bolas cuyas *fuentes de luz* son los vértices de  $P$ .



Si  $P$  es un  $(d + 1)$ -politopo *arista-inscribible* (i.e., todas las aristas de  $P$  son tangentes a  $\mathbb{S}^d$ ) entonces  $B(P)$  es un *empaquetamiento de  $d$ -bolas*  $B_P$ .

# Empaquetamientos polytopales

Un empaquetamiento de  $d$ -bolas  $B_P$  es *politopal* si existe  $\mu \in \widehat{\text{Möb}}(\mathbb{R}^d)$  (*grupo de Möbius* generado por las *inversiones* de  $d$ -bolas) tal que  $\mu(B_P) = B(P)$ .



# Empaquetamientos polytopales

Un empaquetamiento de  $d$ -bolas  $B_P$  es *politopal* si existe  $\mu \in \widehat{\text{Möb}}(\mathbb{R}^d)$  (*grupo de Möbius* generado por las *inversiones* de  $d$ -bolas) tal que  $\mu(B_P) = B(P)$ .

## Observaciones

- No todos los empaquetamientos de  $d$ -bolas son politopales

# Empaquetamientos polytopales

Un empaquetamiento de  $d$ -bolas  $B_P$  es *politopal* si existe  $\mu \in \widehat{\text{Möb}}(\mathbb{R}^d)$  (*grupo de Möbius* generado por las *inversiones* de  $d$ -bolas) tal que  $\mu(B_p) = B(P)$ .

## Observaciones

- No todos los empaquetamientos de  $d$ -bolas son politopales
- Todo empaquetamiento politopal admite un *empaquetamiento dual*  $B^*(P)$  inducido por proyección del empaquetamiento de bolas a partir del polar  $P^*$ .

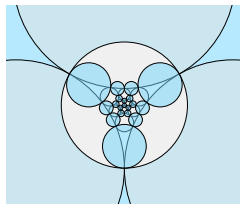
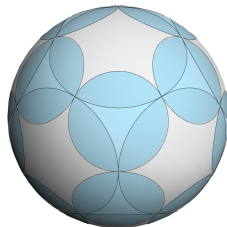
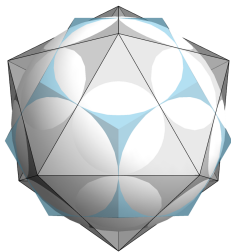
# Empaquetamientos polytopales

Un empaquetamiento de  $d$ -bolas  $B_P$  es *politopal* si existe  $\mu \in \widehat{\text{Möb}}(\mathbb{R}^d)$  (*grupo de Möbius* generado por las *inversiones* de  $d$ -bolas) tal que  $\mu(B_P) = B(P)$ .

## Observaciones

- No todos los empaquetamientos de  $d$ -bolas son politopales
- Todo empaquetamiento politopal admite un *empaquetamiento dual*  $B^*(P)$  inducido por proyección del empaquetamiento de bolas a partir del polar  $P^*$ .

Un icosaedro arista-inscribible y su polar en azul.


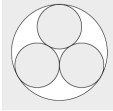
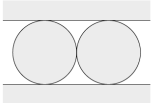
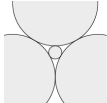
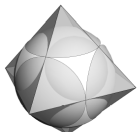
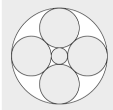
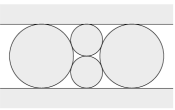
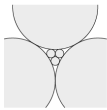


# Proyecciones de empaquetamientos centrados

La proyección *centrada* es la proyecciones de las bolas con una  $k$ -cara cuyo baricentro esta en el rayo generado a partir del polo Norte.

# Proyecciones de empaquetamientos centrados

La proyección *centrada* es la proyecciones de las bolas con una  $k$ -cara cuyo baricentro esta en el rayo generado a partir del polo Norte.

Edge-scribed realization	Vertex centered at $\infty$	Edge centered at $\infty$	Face centered at $\infty$																						
 <p><math>\ell_{\{3,3\}} = \sqrt{2}</math></p>	 <table border="1"> <thead> <tr> <th><math>n</math></th> <th><math>\kappa</math></th> </tr> </thead> <tbody> <tr> <td>1</td> <td><math>\frac{1}{\sqrt{2}}(1 - \sqrt{3})</math></td> </tr> <tr> <td>3</td> <td><math>\frac{1}{\sqrt{2}}(1 + \sqrt{1/3})</math></td> </tr> </tbody> </table>	$n$	$\kappa$	1	$\frac{1}{\sqrt{2}}(1 - \sqrt{3})$	3	$\frac{1}{\sqrt{2}}(1 + \sqrt{1/3})$	 <table border="1"> <thead> <tr> <th><math>n</math></th> <th><math>\kappa</math></th> </tr> </thead> <tbody> <tr> <td>2</td> <td>0</td> </tr> <tr> <td>2</td> <td><math>\sqrt{2}</math></td> </tr> </tbody> </table>	$n$	$\kappa$	2	0	2	$\sqrt{2}$	 <table border="1"> <thead> <tr> <th><math>n</math></th> <th><math>\kappa</math></th> </tr> </thead> <tbody> <tr> <td>3</td> <td><math>\frac{1}{\sqrt{2}}(1 - \sqrt{1/3})</math></td> </tr> <tr> <td>1</td> <td><math>\frac{1}{\sqrt{2}}(1 + \sqrt{3})</math></td> </tr> </tbody> </table>	$n$	$\kappa$	3	$\frac{1}{\sqrt{2}}(1 - \sqrt{1/3})$	1	$\frac{1}{\sqrt{2}}(1 + \sqrt{3})$				
$n$	$\kappa$																								
1	$\frac{1}{\sqrt{2}}(1 - \sqrt{3})$																								
3	$\frac{1}{\sqrt{2}}(1 + \sqrt{1/3})$																								
$n$	$\kappa$																								
2	0																								
2	$\sqrt{2}$																								
$n$	$\kappa$																								
3	$\frac{1}{\sqrt{2}}(1 - \sqrt{1/3})$																								
1	$\frac{1}{\sqrt{2}}(1 + \sqrt{3})$																								
 <p><math>\ell_{\{3,4\}} = 1</math></p>	 <table border="1"> <thead> <tr> <th><math>n</math></th> <th><math>\kappa</math></th> </tr> </thead> <tbody> <tr> <td>1</td> <td><math>1 - \sqrt{2}</math></td> </tr> <tr> <td>4</td> <td>1</td> </tr> <tr> <td>1</td> <td><math>1 + \sqrt{2}</math></td> </tr> </tbody> </table>	$n$	$\kappa$	1	$1 - \sqrt{2}$	4	1	1	$1 + \sqrt{2}$	 <table border="1"> <thead> <tr> <th><math>n</math></th> <th><math>\kappa</math></th> </tr> </thead> <tbody> <tr> <td>2</td> <td>0</td> </tr> <tr> <td>2</td> <td>1</td> </tr> <tr> <td>2</td> <td>2</td> </tr> </tbody> </table>	$n$	$\kappa$	2	0	2	1	2	2	 <table border="1"> <thead> <tr> <th><math>n</math></th> <th><math>\kappa</math></th> </tr> </thead> <tbody> <tr> <td>3</td> <td><math>1 - \sqrt{2/3}</math></td> </tr> <tr> <td>3</td> <td><math>1 + \sqrt{2/3}</math></td> </tr> </tbody> </table>	$n$	$\kappa$	3	$1 - \sqrt{2/3}$	3	$1 + \sqrt{2/3}$
$n$	$\kappa$																								
1	$1 - \sqrt{2}$																								
4	1																								
1	$1 + \sqrt{2}$																								
$n$	$\kappa$																								
2	0																								
2	1																								
2	2																								
$n$	$\kappa$																								
3	$1 - \sqrt{2/3}$																								
3	$1 + \sqrt{2/3}$																								

# Proyecciones de empaquetamientos centrados



$$\ell_{\{4,3\}} = \frac{1}{\sqrt{2}}$$



$n$	$\kappa$
1	$\sqrt{2} - \sqrt{3}$
3	$\sqrt{2} - \sqrt{1/3}$
3	$\sqrt{2} + \sqrt{1/3}$
1	$\sqrt{2} + \sqrt{3}$



$n$	$\kappa$
2	0
4	$\sqrt{2}$
2	$2\sqrt{2}$



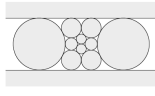
$n$	$\kappa$
4	$\sqrt{2} - 1$
4	$\sqrt{2} + 1$



$$\ell_{\{3,5\}} = \frac{1}{\varphi}$$



$n$	$\kappa$
1	$\varphi - \sqrt{\varphi + 2}$
5	$\varphi - \sqrt{\frac{\varphi + 2}{5}}$
5	$\varphi + \sqrt{\frac{\varphi + 2}{5}}$
1	$\varphi + \sqrt{\varphi + 2}$



$n$	$\kappa$
2	0
2	$\varphi - 1$
4	$\varphi$
2	$\varphi + 1$
2	$2\varphi$



$n$	$\kappa$
3	$\varphi - \varphi^2 \sqrt{1/3}$
3	$\varphi - \varphi^{-1} \sqrt{1/3}$
3	$\varphi + \varphi^{-1} \sqrt{1/3}$
3	$\varphi + \varphi^2 \sqrt{1/3}$



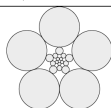
$$\ell_{\{5,3\}} = \frac{1}{\varphi^2}$$



$n$	$\kappa$
1	$\varphi^2 - \varphi\sqrt{3}$
3	$\varphi^2 - \varphi\sqrt{5/3}$
6	$\varphi^2 - \varphi\sqrt{1/3}$
6	$\varphi^2 + \varphi\sqrt{1/3}$
3	$\varphi^2 + \varphi\sqrt{5/3}$
1	$\varphi^2 + \varphi\sqrt{3}$



$n$	$\kappa$
2	0
4	$\varphi^2 - \varphi$
2	$\varphi^2 - 1$
4	$\varphi^2$
2	$\varphi^2 + 1$
4	$\varphi^2 + \varphi$
2	$2\varphi^2$



$n$	$\kappa$
5	$\varphi^2 - \sqrt{\frac{1}{5}(7 + 11\varphi)}$
5	$\varphi^2 - \sqrt{\frac{1}{5}(3 - \varphi)}$
5	$\varphi^2 + \sqrt{\frac{1}{5}(3 - \varphi)}$
5	$\varphi^2 + \sqrt{\frac{1}{5}(7 + 11\varphi)}$

Sea  $B_P$  un empaquetamiento  $d$ -bolas polytopal

Sea  $B_P$  un empaquetamiento  $d$ -bolas polytopal

El grupo *Simétrico* :  $Sym(B_P) := \langle \mu \in \widehat{\text{Möb}}(\mathbb{R}^d) \mid \mu(B_P) = B_P \rangle$



Sea  $B_P$  un empaquetamiento  $d$ -bolas polytopal

El grupo *Simétrico* :  $Sym(B_P) := \langle \mu \in \widehat{\text{Möb}}(\mathbb{R}^d) \mid \mu(B_P) = B_P \rangle$

El grupo *Apoloniano* :  $A(B_P) := \langle S(B_P^*) \rangle$  dónde  $S(B_P^*)$  es el conjunto de inversiones de las  $d$ -bolas de  $B_P^*$

Sea  $B_P$  un empaquetamiento  $d$ -bolas polytopal

El grupo *Simétrico* :  $Sym(B_P) := \langle \mu \in \widehat{\text{Möb}}(\mathbb{R}^d) \mid \mu(B_P) = B_P \rangle$

El grupo *Apoloniano* :  $A(B_P) := \langle S(B_P^*) \rangle$  dónde  $S(B_P^*)$  es el conjunto de inversiones de las  $d$ -bolas de  $B_P^*$

El grupo *Super Simétrico Apoloniano* :

$SSA(B_P) := \langle Sym(B_P) \cup A(B_P) \cup A(B_P^*) \rangle$

Sea  $B_P$  un empaquetamiento  $d$ -bolas polytopal

El grupo *Simétrico* :  $Sym(B_P) := \langle \mu \in \widehat{\text{Möb}}(\mathbb{R}^d) \mid \mu(B_P) = B_P \rangle$

El grupo *Apoloniano* :  $A(B_P) := \langle S(B_P^*) \rangle$  dónde  $S(B_P^*)$  es el conjunto de inversiones de las  $d$ -bolas de  $B_P^*$

El grupo *Super Simétrico Apoloniano* :

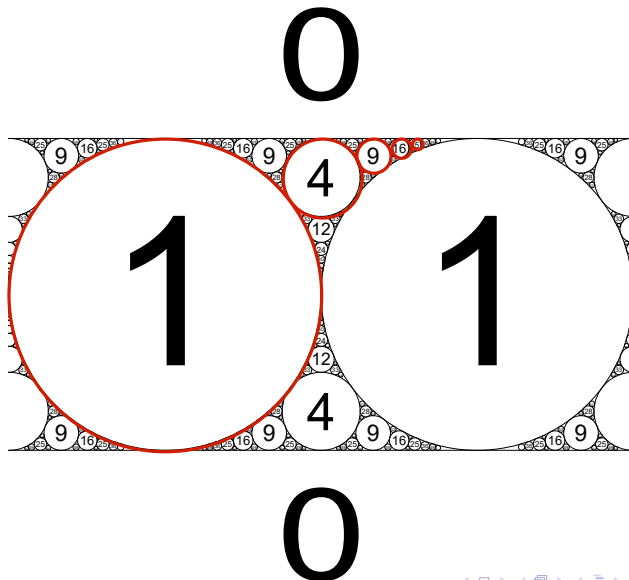
$SSA(B_P) := \langle Sym(B_P) \cup A(B_P) \cup A(B_P^*) \rangle$

**Teorema (Rasskin + R.A. 2022)**

Existen empaquetamientos tetraedrales, cúbicos y dodecaedrales de Apolonio donde el conjunto de curvaturas contienen todos los cuadrados perfectos.

# Ejemplo de empaquetamiento

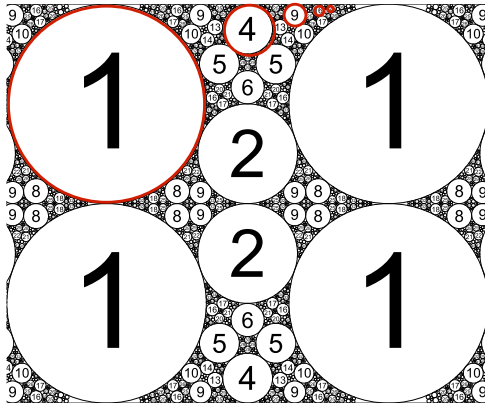
Tetraedral



# Ejemplo de empaquetamiento

Cúbico

0

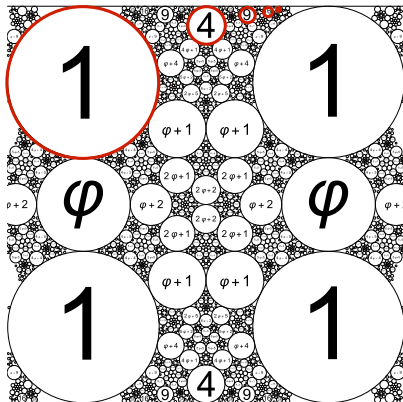


0

# Ejemplo de empaquetamiento

Dodecaedral ( $\varphi$  es el número áureo  $\frac{1+\sqrt{5}}{2}$ )

0



0

# Curvaturas Lorentzianas de politopos

Para todo  $\mathbf{x} \in \mathbb{L}^{d+1,1}$ , definamos

$$\kappa(\mathbf{x}) = -\langle \mathbf{x}_N, \mathbf{x} \rangle$$

dónde  $\mathbf{x}_N = (e_{d+1} + e_{d+2})$  con  $e_i$  vector canónico de  $\mathbb{L}^{d+1,1}$ .

Para todo  $\mathbf{x} \in \mathbb{L}^{d+1,1}$ , definamos

$$\kappa(\mathbf{x}) = -\langle \mathbf{x}_N, \mathbf{x} \rangle$$

dónde  $\mathbf{x}_N = (e_{d+1} + e_{d+2})$  con  $e_i$  vector canónico de  $\mathbb{L}^{d+1,1}$ .

Notemos que si  $\mathbf{x}_b$  es space-like normalizado entonces

$$(\text{curvatura de } b) \quad \kappa(b) = -\langle \mathbf{x}_N, \mathbf{x}_b \rangle$$



# Curvaturas Lorentzianas de politopos

Para todo  $\mathbf{x} \in \mathbb{L}^{d+1,1}$ , definamos

$$\kappa(\mathbf{x}) = -\langle \mathbf{x}_N, \mathbf{x} \rangle$$

dónde  $\mathbf{x}_N = (e_{d+1} + e_{d+2})$  con  $e_i$  vector canónico de  $\mathbb{L}^{d+1,1}$ .

Notemos que si  $\mathbf{x}_b$  es space-like normalizado entonces

$$(\text{curvatura de } b) \quad \kappa(b) = -\langle \mathbf{x}_N, \mathbf{x}_b \rangle$$

Sea  $P \subset E^{d+1}$  esfera-exterior. El *baricentro Lorentziano* de  $P$  es

$$\mathbf{x}_P := \frac{1}{|\mathcal{F}_0(P)|} \sum_{v \in \mathcal{F}_0(P)} \mathbf{x}_{b(v)}$$

dónde  $b(v)$  es la región iluminada a partir de  $v$ .

La *curvatura Lorentziana* de  $P$  es definida como

$$\kappa_P := \kappa(\mathbf{x}_P)$$

La *curvatura Lorentziana* de  $P$  es definida como

$$\kappa_P := \kappa(\mathbf{x}_P)$$

Por linealidad tenemos que

$$\kappa_P := \frac{1}{|\mathcal{F}_0(P)|} \sum_{v \in \mathcal{F}_0(P)} \kappa(b(v))$$

**Teorema (Rasskin + R.A. 2022)** Sea  $\mathcal{B}_P$  el empaquetamiento obtenido a partir del  $(d + 1)$ -polytopo regular  $P$ . Entonces, para cualquier bandera  $(f_0, \dots, f_d, f_{d+1} = P)$  tenemos la relación

$$(\kappa_{f_0} - \kappa_{f_1})^2 + \ell_{f_2}^2 (\kappa_{f_1} - \kappa_{f_2})^2 + \sum_{i=2}^d \frac{1}{\ell_{f_{i+1}}^{-2} - \ell_{f_i}^{-2}} (\kappa_{f_i} - \kappa_{f_{i+1}})^2 = \ell_P^2 \kappa_P^2$$

dónde  $\ell_{f_i}$  es la mitad de la longitud de una arista  $f_i$ .

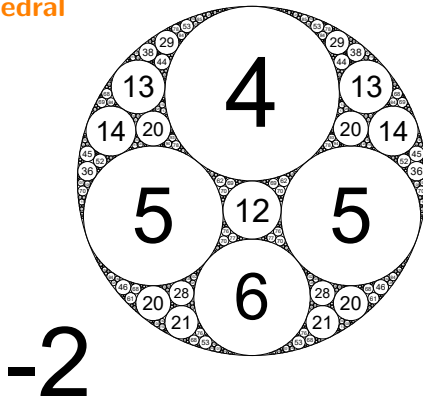
# Integralidad empaquetamientos Octaedral

**Proposición (Rasskin + R.A. 2022)** Sean  $\kappa_1, \kappa_2, \kappa_3$  las curvaturas de tres discos dos a dos tangentes de un empaquetamiento de discos politopal octaedral  $B_O$ . Si  $\kappa_1, \kappa_2, \kappa_3$  y  $\sqrt{2(\kappa_1\kappa_2 + \kappa_1\kappa_3 + \kappa_2\kappa_3)}$  son enteros entonces el empaquetamiento Apolonio generado a partir de  $B_O$  es integral.

# Integralidad empaquetamientos Octaedral

**Proposición (Rasskin + R.A. 2022)** Sean  $\kappa_1, \kappa_2, \kappa_3$  las curvaturas de tres discos dos a dos tangentes de un empaquetamiento de discos politopal octaedral  $B_O$ . Si  $\kappa_1, \kappa_2, \kappa_3$  y  $\sqrt{2(\kappa_1\kappa_2 + \kappa_1\kappa_3 + \kappa_2\kappa_3)}$  son enteros entonces el empaquetamiento Apolonio generado a partir de  $B_O$  es integral.

**Octaedral**

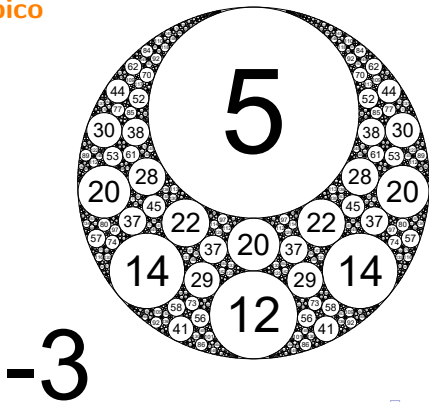


**Proposición (Rasskin + R.A. 2022)** Sean  $\kappa_{i-1}, \kappa_i, \kappa_{i+1}$  las curvaturas de tres discos consecutivamente tangentes de un empaquetamiento de discos politopal cúbico  $B_C$ . Si  $\kappa_{i-1}, \kappa_i, \kappa_{i+1}$  y  $\sqrt{-\kappa_i^2 + \kappa_i \kappa_{i+1} + \kappa_i \kappa_{i-1} + \kappa_{i-1} \kappa_{i+1}}$  son enteros entonces el empaquetamiento Apolonio generado a partir de  $B_C$  es integral.

# Integralidad empaquetamientos Cúbico

**Proposición (Rasskin + R.A. 2022)** Sean  $\kappa_{i-1}, \kappa_i, \kappa_{i+1}$  las curvaturas de tres discos consecutivamente tangentes de un empaquetamiento de discos politopal cúbico  $B_C$ . Si  $\kappa_{i-1}, \kappa_i, \kappa_{i+1}$  y  $\sqrt{-\kappa_i^2 + \kappa_i \kappa_{i+1} + \kappa_i \kappa_{i-1} + \kappa_{i-1} \kappa_{i+1}}$  son enteros entonces el empaquetamiento Apolonio generado a partir de  $B_C$  es integral.

**Cúbico**





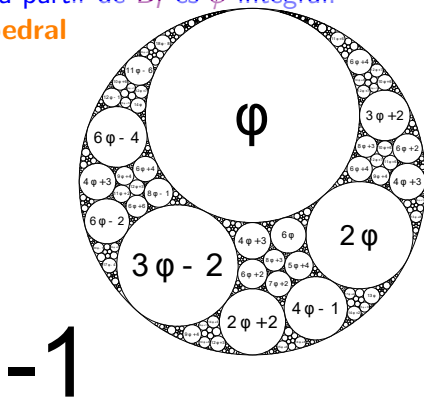
# Integralidad empaquetamientos Icosaedral

**Proposición (Rasskin + R.A. 2022)** Sean  $\kappa_1, \kappa_2, \kappa_3$  las curvaturas de tres discos dos a dos tangentes de un empaquetamiento de discos politopal icosaedral  $B_I$ . Si  $\kappa_1, \kappa_2, \kappa_3$  y  $\sqrt{\kappa_1\kappa_2 + \kappa_1\kappa_3 + \kappa_2\kappa_3}$  están en  $\mathbb{Z}[\varphi]$  entonces el empaquetamiento Apolonio generado a partir de  $B_I$  es  $\varphi$ -integral.

# Integralidad empaquetamientos Icosaedral

**Proposición (Rasskin + R.A. 2022)** Sean  $\kappa_1, \kappa_2, \kappa_3$  las curvaturas de tres discos dos a dos tangentes de un empaquetamiento de discos politopal icosaedral  $B_I$ . Si  $\kappa_1, \kappa_2, \kappa_3$  y  $\sqrt{\kappa_1\kappa_2 + \kappa_1\kappa_3 + \kappa_2\kappa_3}$  están en  $\mathbb{Z}[\varphi]$  entonces el empaquetamiento Apolonio generado a partir de  $B_I$  es  $\varphi$ -integral.

Icoedral

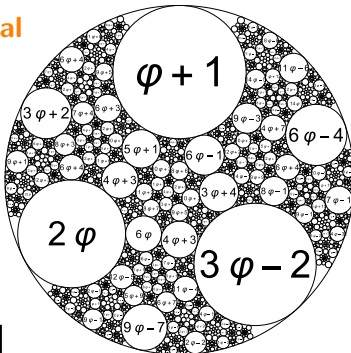


**Proposición (Rasskin + R.A. 2022)** Sean  $\kappa_{i-1}, \kappa_i, \kappa_{i+1}$  las curvaturas de tres discos consecutivamente tangentes de un empaquetamiento de discos politopal dodecaedral  $B_D$ . Si  $\kappa_{i-1}, \kappa_i, \kappa_{i+1}$  y  $\sqrt{-\varphi^2 \kappa_i^2 + \kappa_i \kappa_{i+1} + \kappa_i \kappa_{i-1} + \kappa_{i-1} \kappa_{i+1}}$  están en  $\mathbb{Z}[\varphi]$  entonces el empaquetamiento Apolonio generado a partir de  $B_D$  es  $\varphi$ -integral.

# Integralidad empaquetamientos Dodecaedral

Proposición (Rasskin + R.A. 2022) Sean  $\kappa_{i-1}, \kappa_i, \kappa_{i+1}$  las curvaturas de tres discos consecutivamente tangentes de un empaquetamiento de discos politopal dodecaedral  $B_D$ . Si  $\kappa_{i-1}, \kappa_i, \kappa_{i+1}$  y  $\sqrt{-\varphi^2 \kappa_i^2 + \kappa_i \kappa_{i+1} + \kappa_i \kappa_{i-1} + \kappa_{i-1} \kappa_{i+1}}$  están en  $\mathbb{Z}[\varphi]$  entonces el empaquetamiento Apolonio generado a partir de  $B_D$  es  $\varphi$ -integral.

Dodecaedral



-1

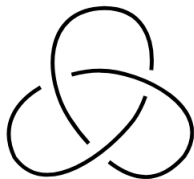
Un **enlace** de  $n$  componentes consiste de  $n$  curvas simples cerradas en  $\mathbb{R}^3$ . Un **nudo** es un enlace con una componente.

Un **enlace** de  $n$  componentes consiste de  $n$  curvas simples cerradas en  $\mathbb{R}^3$ . Un **nudo** es un enlace con una componente.

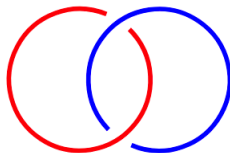
El **número de cruces** de  $L$ , denotado  $cr(L)$ , es el número más pequeño de cruces entre todos los diagramas de enlaces **isotopos** a  $L$ .

Un **enlace** de  $n$  componentes consiste de  $n$  curvas simples cerradas en  $\mathbb{R}^3$ . Un **nudo** es un enlace con una componente.

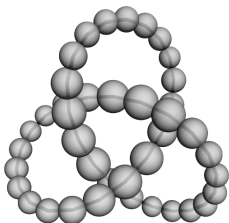
El **número de cruces** de  $L$ , denotado  $cr(L)$ , es el número más pequeño de cruces entre todos los diagramas de enlaces **isotopos** a  $L$ .



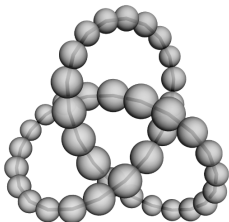
**Trebol**



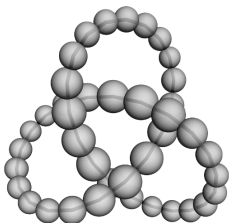
**Enlace de Hopf**







El **número de bolas** de un enlace  $L$ , denotado por  $ball(L)$  es el mínimo número de bolas solidas (no necesariamente del mismo tamaño) necesarias para realizar un collar representando  $L$ .



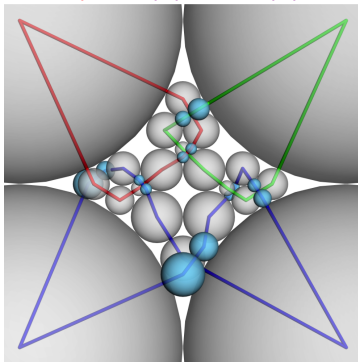
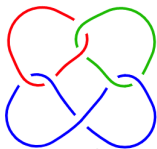
El **número de bolas** de un enlace  $L$ , denotado por  $ball(L)$  es el mínimo número de bolas solidas (no necesariamente del mismo tamaño) necesarias para realizar un collar representando  $L$ .

Es conocido que  $9 \leq ball(Trebol) \leq 12$  y  $ball(Hopf) = 8$ .

Teorema (Rasskin + R.A. 2021)  $ball(L) \leq 5cr(L)$  para todo  $L$

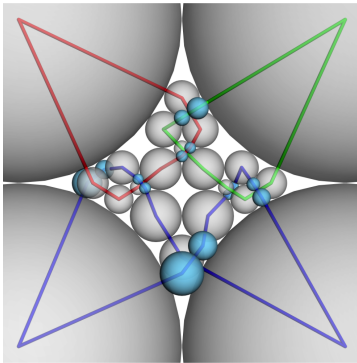
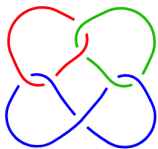
# Resultado general

Teorema (Rasskin + R.A. 2021)  $ball(L) \leq 5cr(L)$  para todo  $L$



# Resultado general

Teorema (Rasskin + R.A. 2021)  $ball(L) \leq 5cr(L)$  para todo  $L$



Conjetura (Rasskin + R.A. 2021) Sea  $L$  un enlace. Entonces  $ball(L) \leq 4cr(L)$  dónde la igualdad se obtiene si  $L$  es **alternante**.



Un 2-tangle



2-tangle elementarios

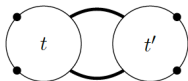
# 2-tangles



Un 2-tangle



2-tangle elementarios



Suma de tangles  $t$  y  $t'$

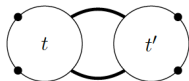
# 2-tangles



Un 2-tangle



2-tangle elementarios



Suma de tangles  $t$  y  $t'$



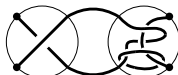
$t$



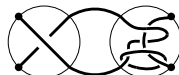
$-t$



$F(t)$



$H^+(t)$



$H^-(t)$

Operaciones con tangles



# Tangles racionales

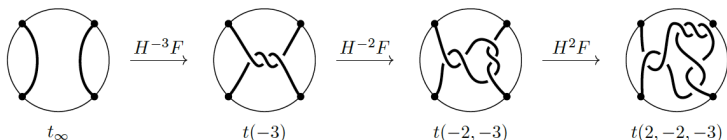
Sean  $a_1, \dots, a_n$  enteros  $a_i \neq 0$ . Sea  $t(a_1, \dots, a_n)$  el tangle racional dado por el algoritmo de Conway :

$$t(a_1, \dots, a_n) = H^{a_1} F \dots H^{a_n} F(t_\infty)$$

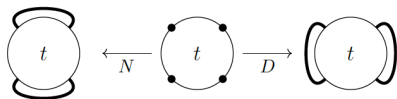
# Tangles racionales

Sean  $a_1, \dots, a_n$  enteros  $a_i \neq 0$ . Sea  $t(a_1, \dots, a_n)$  el tangle racional dado por el algoritmo de Conway :

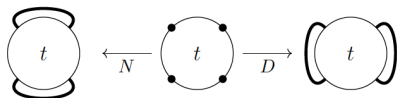
$$t(a_1, \dots, a_n) = H^{a_1} F \dots H^{a_n} F(t_\infty)$$



$$t(2, -2, -3)$$



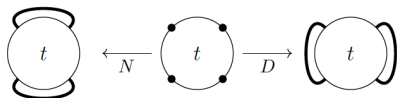
**Cerraduras de un tangle : denominador y numerador**



## Cerraduras de un tangle : denominador y numerador

La **pendiente** del tangle racional  $t(a_1, \dots, a_n)$  es el número racional  $p/q$  obtenido por la expansión de **fracciones continuas**

$$[a_1, \dots, a_n] := a_1 + \frac{1}{\dots + \frac{1}{a_n}} = \frac{p}{q}.$$

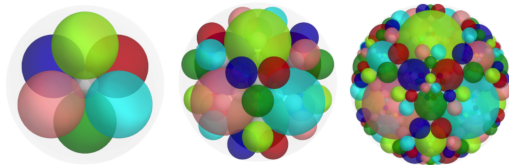


## Cerraduras de un tangle : denominador y numerador

La **pendiente** del tangle racional  $t(a_1, \dots, a_n)$  es el número racional  $p/q$  obtenido por la expansión de **fracciones continuas**

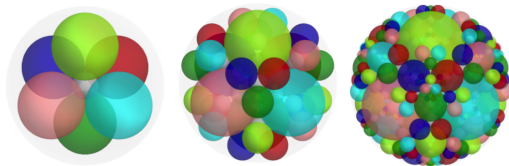
$$[a_1, \dots, a_n] := a_1 + \frac{1}{\dots + \frac{1}{a_n}} = \frac{p}{q}.$$

**Teorema (Conway 1970)** Dos tangles racionales son equivalentes si y solamente si tienen la misma pendiente.

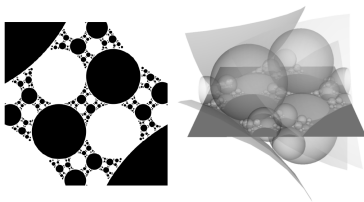


**Empaquetamiento de esferas orthoplicial  $B(O^4)$**

# Empaquetamientos ortopical y cubico

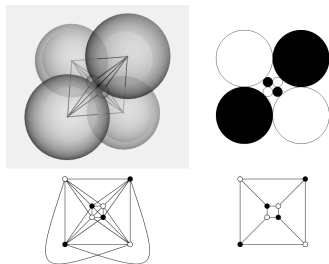


Empaquetamiento de esferas orthopical  $B(O^4)$



Sección  $B(O^4)$  obteniendo el empaquetamiento ortocubico  $B(C^3)$

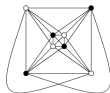
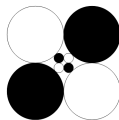
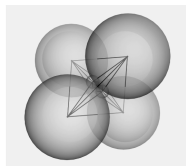
# Tangles : diagramas cúbico



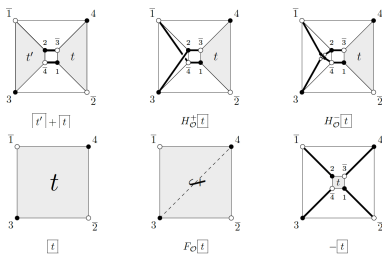
Grafos asociado a  $B(C^3)$



# Tangles : diagramas cúbico



## Grafos asociado a $B(\mathbb{C}^3)$



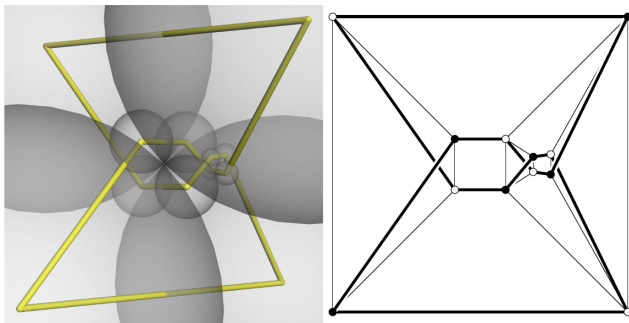
Traduciendo operaciones de tangles en el grafo de  $B(\mathbb{C}^3)$

# Tangles : diagramas cúbicos

**Teorema (Rasskin + R.A. 2023)** Todo enlace racional admite una representación ortocubica (diagrama cúbico), implicando una representación de collar contenido en una sección de  $B(O^4)$ .

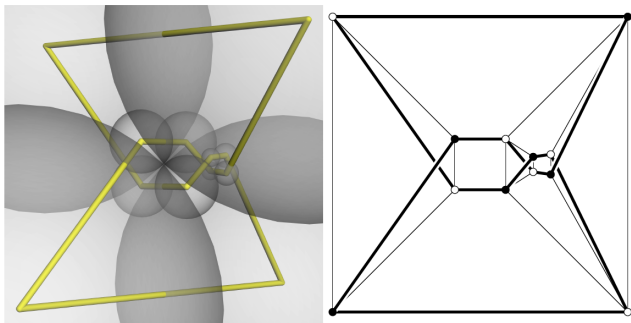
# Tangles : diagramas cúbicos

**Teorema (Rasskin + R.A. 2023)** Todo enlace racional admite una representación ortocubica (diagrama cúbico), implicando una representación de collar contenido en una sección de  $B(O^4)$ .



# Tangles : diagramas cúbicos

**Teorema (Rasskin + R.A. 2023)** Todo enlace racional admite una representación ortocubica (diagrama cúbico), implicando una representación de collar contenido en una sección de  $B(O^4)$ .



**Teorema (Rasskin + R.A. 2023)**  $ball(L) \leq 4cr(L)$  para todo enlace racional  $L$ .

# Punto ortocubico

El **punto ortocubico**  $n_{p/q}$  de un tangle  $t_{p/q}$  es el punto de tangencia de los dos círculos que corresponden a la última arista de su representación ortocubica.

# Punto ortocubico

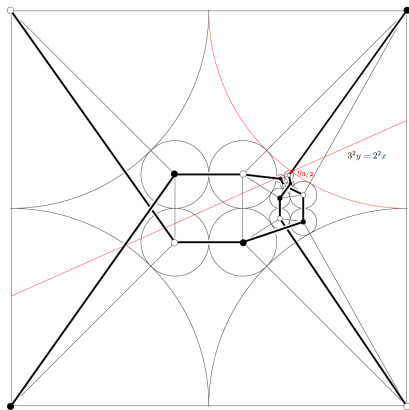
El **punto ortocubico**  $n_{p/q}$  de un tangle  $t_{p/q}$  es el punto de tangencia de los dos círculos que corresponden a la última arista de su representación ortocubica.

**Teorema (Rasskin + R.A. 2023)**  $n_{p/q}$  es la intersección de la recta que pasa por el origen y pendiente  $\pm(p/q)^{-2}$ .

# Punto ortocubico

El **punto ortocubico**  $n_{p/q}$  de un tangle  $t_{p/q}$  es el punto de tangencia de los dos círculos que corresponden a la última arista de su representación ortocubica.

**Teorema (Rasskin + R.A. 2023)**  $n_{p/q}$  es la intersección de la recta que pasa por el origen y pendiente  $\pm(p/q)^{-2}$ .



Corolario (Rasskin + R.A. 2022) La ecuación diofántica  
 $x^4 + y^4 + z^4 = 2t^2$  admite un infinidad de soluciones primitivas.



Corolario (Rasskin + R.A. 2022) La ecuación diofántica  $x^4 + y^4 + z^4 = 2t^2$  admite un infinidad de soluciones primitivas.

Prueba (idea) : Encontrar las coordenadas inversas del punto ortocubico  $\eta_{p/q}$  del tangle racional

$$i(\eta_{p/q}) = \begin{pmatrix} p^2 \\ q^2 \\ (p - q)^2 \\ \sqrt{2}(p^2 - pq + q^2) \end{pmatrix}$$

Corolario (Rasskin + R.A. 2022) La ecuación diofántica  $x^4 + y^4 + z^4 = 2t^2$  admite un infinidad de soluciones primitivas.

Prueba (idea) : Encontrar las coordenadas inversas del punto ortocubico  $\eta_{p/q}$  del tangle racional

$$i(\eta_{p/q}) = \begin{pmatrix} p^2 \\ q^2 \\ (p - q)^2 \\ \sqrt{2}(p^2 - pq + q^2) \end{pmatrix}$$

Calculando

$$\langle i(\eta_{p/q}), i(\eta_{p/q}) \rangle = 0 \Leftrightarrow \underbrace{p^4}_a + \underbrace{q^4}_b + \underbrace{(p - q)^4}_c = 2 \underbrace{(p^2 - pq + q^2)^2}_d$$

producimos la solución  $a^4 + b^4 + c^4 = 2d^2$ .

***GRACIAS***

